

Аппроксимация уравнений в OpenFOAM

Разберем алгоритм аппроксимации слагаемых в OpenFOAM на примере квазигазодинамического уравнения сохранения массы:

$$\frac{\partial \rho}{\partial t} + \nabla \cdot \vec{j}_m = 0, \quad (1)$$

где $\vec{j}_m = \rho(\vec{u} - \vec{w})$, $\vec{w} = \frac{\tau}{\rho} [\nabla \cdot (\rho \vec{u} \otimes \vec{u}) + \nabla p]$.

Перепишем уравнение (1) в следующем виде:

$$\frac{\partial \rho}{\partial t} + \nabla \cdot (\rho \vec{u}) - \nabla \cdot (\tau \nabla \cdot (\rho \vec{u} \otimes \vec{u})) - \nabla \cdot (\tau \nabla p) = 0. \quad (2)$$

Распишем конечнообъемную аппроксимацию слагаемых уравнения (2) в центрах конечных объемов. При этом пользуемся тем, что значение каждой величины в центре ячейки есть среднее этой величины по ячейке, вычисляемое следующим образом:

$$\langle a \rangle = \frac{1}{V} \int_V a dV,$$

где V — объем ячейки.

- Рассмотрим слагаемое $\nabla \cdot (\rho \vec{u})$:

$$\langle \nabla \cdot (\rho \vec{u}) \rangle = \frac{1}{V} \int_V \nabla \cdot (\rho \vec{u}) dV = \frac{1}{V} \int_{\partial V} \rho \vec{u} \cdot \vec{n} dS \approx \frac{1}{V} \sum_f \rho_f \vec{u}_f \cdot \vec{S}_f.$$

Здесь индекс f указывает на значение величины на грани конечного объема, $\vec{S}_f = S_f \vec{n}$ — нормаль к грани, умноженная на ее площадь. Величины, стоящие под суммой, легко вычисляются с помощью интерполирования полей соответствующих величин, заданных в центрах конечных объемов, на грани (пр. `rho_f = fvc::interpolate(rho)`). Значение \vec{S}_f хранится в переменной `mesh.Sf()`.

- Распишем среднее значение по ячейке для слагаемого $\nabla \cdot (\tau \nabla p)$:

$$\langle \nabla \cdot (\tau \nabla p) \rangle = \frac{1}{V} \int_V \nabla \cdot (\tau \nabla p) dV = \frac{1}{V} \int_{\partial V} \tau \nabla p \cdot \vec{n} dS = \frac{1}{V} \int_{\partial V} \tau \frac{\partial p}{\partial \vec{n}} dS \approx \frac{1}{V} \sum_f \tau_f \left(\frac{\partial p}{\partial \vec{n}} \right)_f S_f.$$

Вычисление производной по нормали к грани конечного объема от поля, заданного в центрах конечных объемов (в нашем случае от поля давления), производится командой `fvc::snGrad(p)`. Значение площади грани хранится в переменной `mesh.magSf()`.

- Перейдем к последнему слагаемому, $\nabla \cdot (\tau \nabla \cdot (\rho \vec{u} \otimes \vec{u}))$.

$$\langle \nabla \cdot (\tau \nabla \cdot (\rho \vec{u} \otimes \vec{u})) \rangle = \frac{1}{V} \int_{\partial V} \tau \nabla \cdot (\rho \vec{u} \otimes \vec{u}) \cdot \vec{n} dS \approx \frac{1}{V} \sum_f \tau_f (\nabla \cdot (\rho \vec{u} \otimes \vec{u}))_f \cdot \vec{S}_f.$$

В данном случае для определения средней величины данного слагаемого по конечному объему необходимо вычислить $(\nabla \cdot (\rho \vec{u} \otimes \vec{u}))_f$. Однако в OpenFOAM дивергенцию

некоторой величины можно вычислить, если поле данной величины задано на границах контрольных объемов. В этом случае после применения оператора дивергенции (как и при разборе работы с предыдущим слагаемым) результат будет известен в центрах контрольных объемов. Для того, чтобы вычислить значение данного слагаемого на грани стандартными средствами OpenFOAM, необходимо вычислить значение слагаемого в центрах конечных объемов, а затем синтерполировать полученные значения на грани конечного объема. Однако в этом случае для вычисления значения слагаемого на грани потребуются значения величин с четырех ячеек (в случае прямоугольной сетки), что не соотносится с оригинальным шаблоном.

Стоит заметить, что для одномерного случая можно обойти эту проблему и реализовать оригинальный шаблон численной схемы.

Реализация численной схемы для одномерной задачи в OpenFOAM

Уравнения для одномерной задачи

- $$\frac{\partial \rho}{\partial t} + \frac{\partial j_m}{\partial x} = 0, \quad (3)$$

где $j_m = \rho u - \rho w$, $\rho w = \tau \frac{\partial}{\partial x} (\rho u^2 + p)$.

- $$\frac{\partial (\rho u)}{\partial t} + \frac{\partial (j_m u)}{\partial x} + \frac{\partial p}{\partial x} = \frac{\partial \Pi_{xx}}{\partial x}, \quad (4)$$

где $\Pi_{xx} = uw^* + R^*$, $w^* = \tau \left(\rho u \frac{\partial u}{\partial x} + \frac{\partial p}{\partial x} \right)$, $R^* = \tau \left(u \frac{\partial p}{\partial x} + \gamma p \frac{\partial u}{\partial x} \right)$.

- $$\frac{\partial E}{\partial t} + \frac{\partial (j_m H)}{\partial x} + \frac{\partial q}{\partial x} = \frac{\partial (\Pi_{xx} u)}{\partial x}. \quad (5)$$

Здесь $E = \rho \left(\frac{u^2}{2} + \frac{p}{\rho(\gamma - 1)} \right)$, $H = \frac{E + p}{\rho} = \frac{u^2}{2} + \frac{p}{\rho(\gamma - 1)} + \frac{p}{\rho}$, $q = -uR^q$,
 $R^q = \tau \rho \left[\frac{u}{\gamma - 1} \frac{\partial}{\partial x} \left(\frac{p}{\rho} \right) + pu \frac{\partial}{\partial x} \left(\frac{1}{\rho} \right) \right]$.

Исходная разностная схема

Выпишем разностную схему для уравнений (3), (4), (5). Для этого будем пользоваться явной схемой по времени и центральными разностями для вычисления производных.

- разностная схема для уравнения (3).

$$\hat{\rho}_i = \rho_i - \frac{\Delta t}{h} (j_{m,i+1/2} - j_{m,i-1/2}),$$

$$j_{m,i+1/2} = (\rho u)_{i+1/2} - (\rho w)_{i+1/2} = \rho_{i+1/2} u_{i+1/2} - (\rho w)_{i+1/2},$$

$$j_{m,i-1/2} = (\rho u)_{i-1/2} - (\rho w)_{i-1/2} = \rho_{i-1/2} u_{i-1/2} - (\rho w)_{i-1/2},$$

$$(\rho w)_{i+1/2} = \tau_{i+1/2} \frac{1}{h} (\rho_{i+1} u_{i+1}^2 + p_{i+1} - \rho_i u_i^2 - p_i),$$

$$(\rho w)_{i-1/2} = \tau_{i-1/2} \frac{1}{h} (\rho_i u_i^2 + p_i - \rho_{i-1} u_{i-1}^2 - p_{i-1}).$$

- разностная схема для уравнения (4).

$$\widehat{\rho u}_i = (\rho u)_i - \frac{\Delta t}{h} (j_{m,i+1/2} u_{i+1/2} - j_{m,i-1/2} u_{i-1/2}) - \frac{\Delta t}{h} (p_{i+1/2} - p_{i-1/2}) + \frac{\Delta t}{h} (\Pi_{xx,i+1/2} - \Pi_{xx,i-1/2}),$$

$$\Pi_{xx,i+1/2} = u_{i+1/2} w_{i+1/2}^* + R_{i+1/2}^*,$$

$$\Pi_{xx,i-1/2} = u_{i-1/2} w_{i-1/2}^* + R_{i-1/2}^*,$$

$$w_{i+1/2}^* = \tau_{i+1/2} \left(\rho_{i+1/2} u_{i+1/2} \frac{u_{i+1} - u_i}{h} + \frac{p_{i+1} - p_i}{h} \right),$$

$$w_{i-1/2}^* = \tau_{i-1/2} \left(\rho_{i-1/2} u_{i-1/2} \frac{u_i - u_{i-1}}{h} + \frac{p_i - p_{i-1}}{h} \right),$$

$$R_{i+1/2}^* = \tau_{i+1/2} \left(u_{i+1/2} \frac{p_{i+1} - p_i}{h} + \gamma_{i+1/2} p_{i+1/2} \frac{u_{i+1} - u_i}{h} \right),$$

$$R_{i-1/2}^* = \tau_{i-1/2} \left(u_{i-1/2} \frac{p_i - p_{i-1}}{h} + \gamma_{i-1/2} p_{i-1/2} \frac{u_i - u_{i-1}}{h} \right).$$

- разностная схема для уравнения (5).

$$\widehat{E}_i = E_i - \frac{\Delta t}{h} (j_{m,i+1/2} H_{i+1/2} - j_{m,i-1/2} H_{i-1/2}) - \frac{\Delta t}{h} (q_{i+1/2} - q_{i-1/2}) + \frac{\Delta t}{h} (\Pi_{xx,i+1/2} u_{i+1/2} - \Pi_{xx,i-1/2} u_{i-1/2}),$$

$$E_i = \frac{\rho_i u_i^2}{2} + \frac{p_i}{\gamma_i - 1},$$

$$H_{i+1/2} = \frac{E_{i+1/2} + p_{i+1/2}}{\rho_{i+1/2}},$$

$$H_{i-1/2} = \frac{E_{i-1/2} + p_{i-1/2}}{\rho_{i-1/2}},$$

$$q_{i+1/2} = -u_{i+1/2} R_{i+1/2}^q,$$

$$R_{i+1/2}^q = \tau_{i+1/2} \rho_{i+1/2} \left[\frac{u_{i+1/2}}{\gamma_{i+1/2} - 1} \frac{p_{i+1}/\rho_{i+1} - p_i/\rho_i}{h} + p_{i+1/2} u_{i+1/2} \frac{1/\rho_{i+1} - 1/\rho_i}{h} \right],$$

$$q_{i-1/2} = -u_{i-1/2} R_{i-1/2}^q,$$

$$R_{i-1/2}^q = \tau_{i-1/2} \rho_{i-1/2} \left[\frac{u_{i-1/2}}{\gamma_{i-1/2} - 1} \frac{p_i/\rho_i - p_{i-1}/\rho_{i-1}}{h} + p_{i-1/2} u_{i-1/2} \frac{1/\rho_i - 1/\rho_{i-1}}{h} \right].$$

Различия между реализациями разностной схемы

| Слагаемое | Схема для расчета fortran | Схема для расчета OpenFOAM |
|------------------|--|---|
| $j_{m,i+1/2}$ | $(\rho u)_{i+1/2} - \frac{\tau_{i+1/2}}{h} (\rho_{i+1} u_{i+1} - \rho_i u_i + p_{i+1} - p_i)$ | $\rho_{i+1/2} u_{i+1/2} - \frac{\tau_{i+1/2}}{h} (\rho_{i+1} u_{i+1} - \rho_i u_i + p_{i+1} - p_i)$ |
| $\Pi_{xx,i+1/2}$ | $\frac{u_{i+1} - u_i}{h} (\gamma \tau_{i+1/2} p_{i+1/2} + \tau_{i+1/2} (\rho u^2)_{i+1/2}) + 2\tau_{i+1/2} u_{i+1/2} \frac{p_{i+1} - p_i}{h}$ | $\frac{u_{i+1} - u_i}{h} (\gamma \tau_{i+1/2} p_{i+1/2} + \tau_{i+1/2} \rho_{i+1/2} u_{i+1/2}^2) + 2\tau_{i+1/2} u_{i+1/2} \frac{p_{i+1} - p_i}{h}$ |
| $q_{i+1/2}$ | $-\frac{\tau_{i+1/2}}{h} (\rho u^2)_{i+1/2} \left[(e_{i+1}^{int} - e_i^{int}) + p_{i+1/2} \left(\frac{1}{\rho_{i+1}} - \frac{1}{\rho_i} \right) \right]$ | $-\frac{\tau_{i+1/2}}{h} \rho_{i+1/2} u_{i+1/2}^2 \left[\left(\frac{p_{i+1}}{\rho_{i+1}(\gamma-1)} - \frac{p_i}{\rho_i(\gamma-1)} \right) + p_{i+1/2} \left(\frac{1}{\rho_{i+1}} - \frac{1}{\rho_i} \right) \right]$ |

Здесь обозначение $(a)_{i+1/2}$ указывает на линейное интерполирование величины в точку $i+1/2$ и вычисляется как $(a)_{i+1/2} = 0.5(a_{i+1} + a_i)$. Величина из программы **fortran** $e_i^{int} = \frac{p_i}{\rho_i(\gamma-1)}$. Соответствующие величины в точках $i-1/2$ вычисляются аналогичным образом.

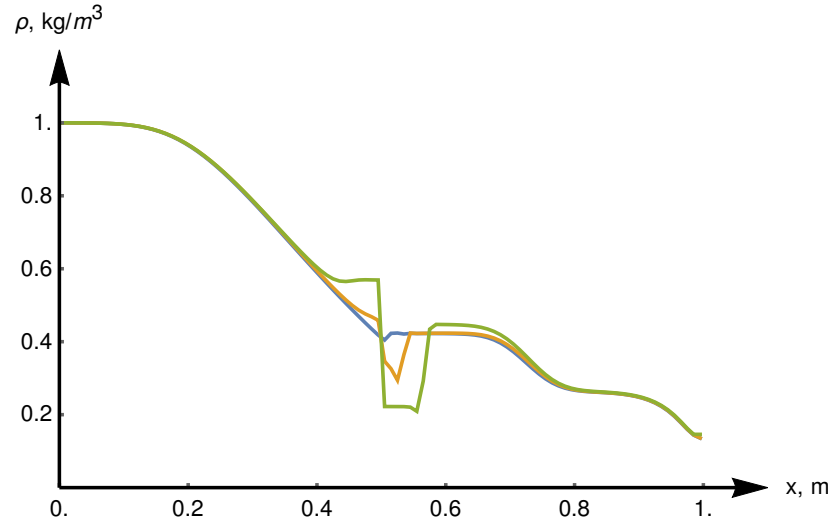


Рис. 1. Иллюстрация к различиям разностной схемы. Синяя линия — реализация OpenFOAM, оранжевая линия — j_m вычисляется как на **fortran**, зеленая линия — схема **fortran**.

Были выявлены три способа интерполирования величин ρu и ρu^2 , приводящие к лучшему из наблюдаемых результатов.

Первый способ (как в OpenFOAM):

- $\rho_{i+1/2} = 0.5(\rho_{i+1} + \rho_i)$;
- $u_{i+1/2} = 0.5(u_{i+1} + u_i)$;
- $(\rho u)|_{i+1/2} = \rho_{i+1/2} u_{i+1/2}$;
- $(\rho u^2)|_{i+1/2} = \rho_{i+1/2} (u_{i+1/2})^2$.

Второй способ:

- $\rho_{i+1/2} = 0.5(\rho_{i+1} + \rho_i)$;
- $(\rho u)|_{i+1/2} = 0.5(\rho_{i+1} u_{i+1} + \rho_i u_i)$;
- $u_{i+1/2} = (\rho u)|_{i+1/2} / \rho_{i+1/2}$;
- $(\rho u^2)|_{i+1/2} = \rho_{i+1/2} (u_{i+1/2})^2$.

Третий способ:

- $\rho_{i+1/2} = 0.5(\rho_{i+1} + \rho_i)$;
- $u_{i+1/2} = 0.5(u_{i+1} + u_i)$;
- $(\rho u)|_{i+1/2} = \rho_{i+1/2} u_{i+1/2}$;
- $(\rho u^2)|_{i+1/2} = 0.5(\rho_{i+1} u_{i+1}^2 + \rho_i u_i^2)$.

Сравнение трех способов интерполирования слагаемых

Сравним результаты, полученные с помощью данных способов интерполирования слагаемых, на примере следующей задачи.

Пусть область $[0, 1]$ разделена на две равные части. При этом в левой части области $\rho_L = 1.0$, $u_L = -2.0$, $p_L = 0.4$, $T_L = 1.0$; в правой части $\rho_R = 1.0$, $u_R = 2.0$, $p_R = 0.4$, $T_R = 1.0$. Величина $\gamma = 1.4$, приведенная универсальная газовая постоянная $R = 0.4$. Расчет проводится до $T_{end} = 0.15$, $dt = 0.15 \cdot 10^{-3}$, шаг пространственной дискретизации $h = 0.01$. Полагаем $\mu = 0$.

Результаты, полученные в конечный момент времени с помощью трех способов интерполирования слагаемых, представлены на графиках 2–5. Номера графиков относятся к способам интерполирования слагаемых соответственно. Также приведен график аналитического решения задачи для полей скорости и температуры.

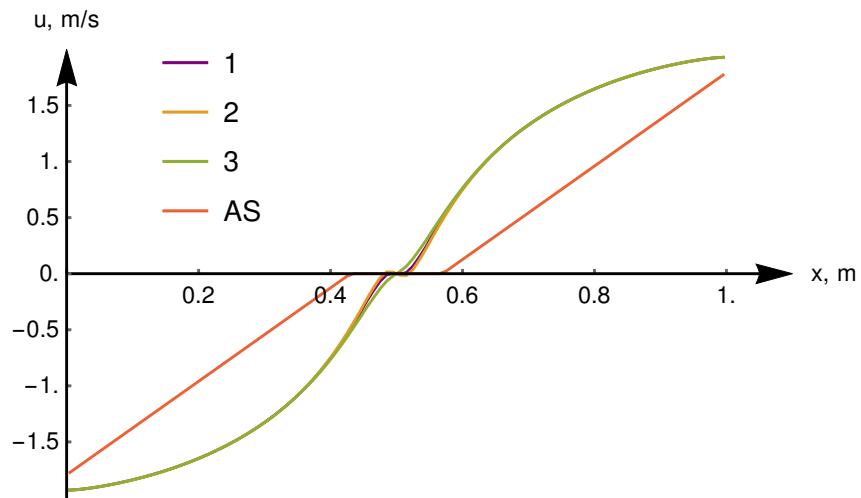


Рис. 2. Иллюстрация к способам интерполирования слагаемых (поле скорости). Фиолетовая линия — первый способ, оранжевая линия — второй, зеленая линия — третий, красная линия — аналитическое решение.

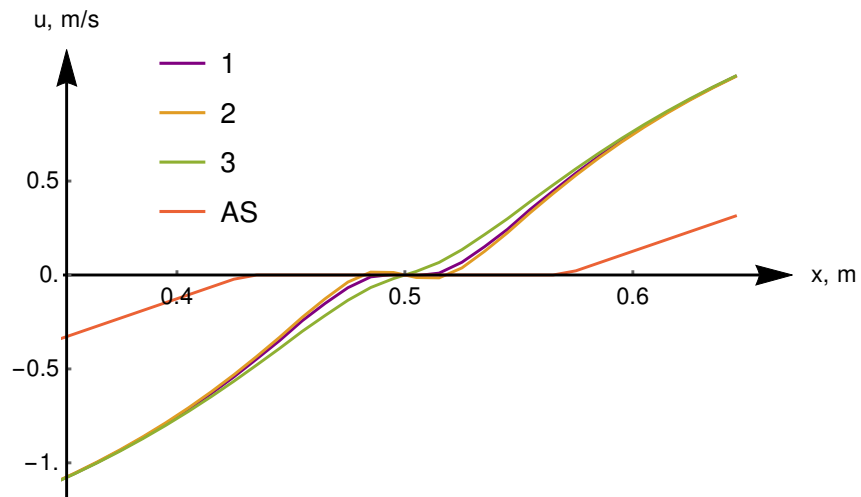


Рис. 3. Иллюстрация к способам интерполирования слагаемых (поле скорости в области $[0.35, 0.65]$). Фиолетовая линия — первый способ, оранжевая линия — второй, зеленая линия — третий, красная линия — аналитическое решение.

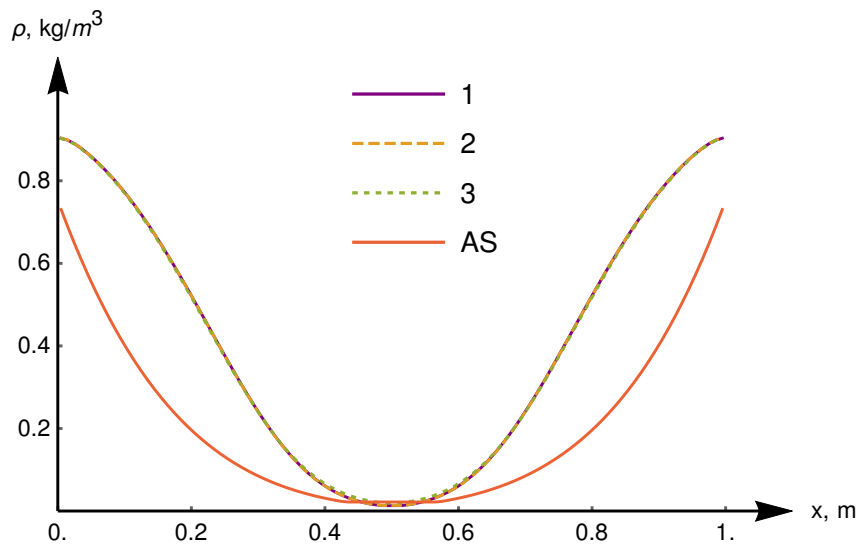


Рис. 4. Иллюстрация к способам интерполирования слагаемых (поле плотности). Фиолетовая линия — первый способ, оранжевая линия — второй, зеленая линия — третий, красная линия — аналитическое решение.

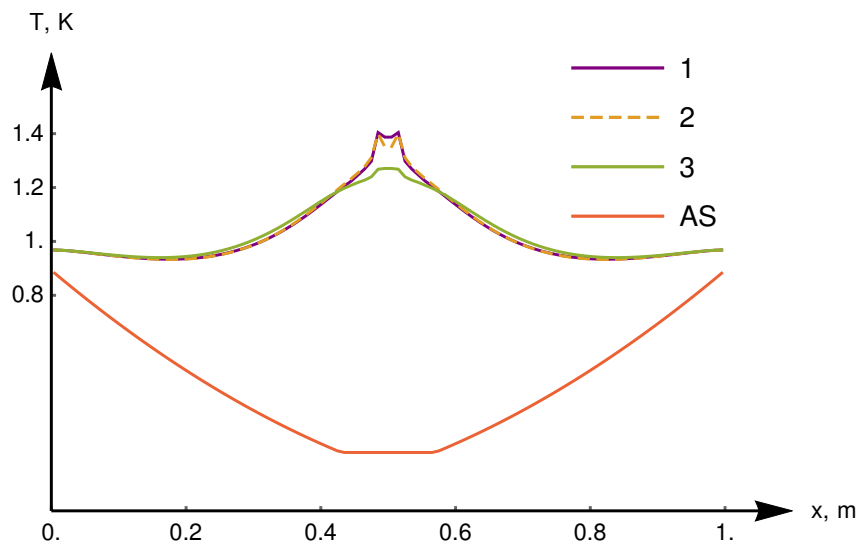


Рис. 5. Иллюстрация к способам интерполирования слагаемых (поле температуры). Фиолетовая линия — первый способ, оранжевая линия — второй, зеленая линия — третий, красная линия — аналитическое решение.

Переход к двумерной задаче

Расчет градиента на гранях ячеек. Случай равномерной прямоугольной сетки

Пусть требуется найти градиент поля $f(\vec{x})$, заданного в центрах ячеек равномерной прямоугольной сетки, в точке p , являющейся центром грани между ячейками 3 и 4 (см. рис. 6). Шаг пространственной дискретизации полагаем одинаковым в обоих направлениях и равным h . Рассмотрим два способа вычисления частных производных на грани.

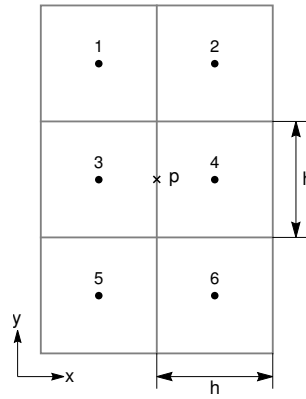


Рис. 6. Сетка для расчета градиента на грани между ячейками 3 и 4.

Стандартный способ. Пусть $f_i = f(\vec{x}_i)$ — значение поля $f(\vec{x})$ в центре ячейки с номером i , $i = \overline{1, 6}$. Тогда, воспользовавшись стандартными формулами вычисления разностных производных (используем симметричные схемы), получаем:

$$\left. \frac{\partial f}{\partial x} \right|_p = \frac{1}{h} (f_4 - f_3),$$

$$\left. \frac{\partial f}{\partial y} \right|_p = \frac{1}{2h} \left(\frac{f_1 + f_2}{2} - \frac{f_5 + f_6}{2} \right).$$

Метод наименьших квадратов. Пусть необходимо вычислить градиент функции $f(\vec{x})$ в точке с координатами \vec{x}_p , зная координаты точек \vec{x}_i , $i = \overline{1, N}$, а также значения функции f_p , f_i , $i = \overline{1, N}$. Градиент функции методом наименьших квадратов вычисляется следующим образом:

$$(\nabla f)|_p = \sum_{i=1}^N w_i^2 \mathbf{G}^{-1} \vec{d}_i (f_i - f_p),$$

здесь индекс i относится к номерам точек, по которым осуществляется расчет; N — количество точек; $\vec{d}_i = \vec{x}_i - \vec{x}_p$; $w_i = \frac{1}{|\vec{d}_i|}$; $\mathbf{G} = \sum_{i=1}^N w_i^2 \vec{d}_i \otimes \vec{d}_i$.

Выпишем формулу для вычисления частных производных в точке p для примера с рис. 6.

$$\left. \frac{\partial f}{\partial x} \right|_p = \frac{1}{7h} (f_2 - f_1 + 5(f_4 - f_3) + f_6 - f_5),$$

$$\left. \frac{\partial f}{\partial y} \right|_p = \frac{1}{2h} \left(\frac{f_1 + f_2}{2} - \frac{f_5 + f_6}{2} \right).$$

Видно, что для данного примера схемы вычисления производных по y , получаемые двумя способами, совпадают.

Если вычислить разницу в производных по координате x , предложенную двумя способами, и с помощью формулы Тейлора перевести все слагаемые в ней в точку p , получим

$$\Delta = \frac{h^2}{7} f_{xyy}|_p + O(h^3).$$

Полагая разницу между двумя схемами допустимо малой (и учитывая, что обе схемы имеют второй порядок точности), в дальнейшем при реализации уравнений QGD в OpenFOAM будем использовать метод наименьших квадратов для вычисления градиента скалярного поля. Также необходимо отметить, что в одномерном случае вычисление производной с помощью двух методов производится по одной и той же схеме.

Разностная схема, заложенная в QGDFoam

Для вычисления пространственных производных в QGDFoam использовался трехточечный шаблон. В нем были приняты следующие обозначения. Если рассматривается величина в центре конкретной ячейки, она помечается индексом o («own», значение в «своей» ячейке). Величины в соседних к «своей» ячейках помечаются индексом n («neighbour», «соседние»). Полагается, что положительное направление нормали граней «своей» ячейки совпадает с внешними нормальными к грани (см. рис. 7).

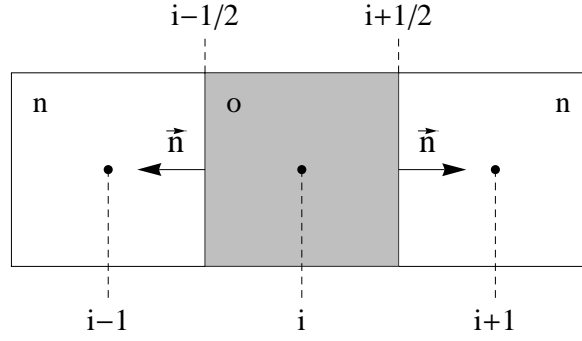


Рис. 7. Иллюстрация к шаблону разностной схемы.

Для реализации разностной схемы (??)–(??) в OpenFOAM использовались следующие операторы:

- `af = fvc::interpolate(a)`. Здесь a — поле некоторой величины, заданное в центрах контрольных объемов, a_f — поле, заданное в центрах граней конечных объемов, полученное линейной интерполяцией значений поля a (напр. $a_{i+1/2} = 0.5(a_i + a_{i+1})$).
- `fvm::ddt(a)` — производная по времени величины a , $\frac{\hat{a} - a}{\Delta t}$. Здесь a — поле, заданное в центрах контрольных объемов.
- `fvc::div(phi)` — дивергенция величины, потоком которой через грани ячейки является поле ϕ . Рассмотрим поле \vec{a} и интерполяцию этого поля на грани конечных объемов \vec{a}_f . Пусть требуется найти величину дивергенции поля \vec{a} . Согласно соглашениям метода контрольного объема, значение некоторого поля в центре конечного объема примерно равно среднему значению этого поля по ячейке. В таком случае, дивергенция поля \vec{a} в центре конечного объема приближенно равна

$$(\nabla \cdot \vec{a})_o \approx \langle \nabla \cdot \vec{a} \rangle = \frac{1}{V} \int_V \nabla \cdot \vec{a} dV = \frac{1}{V} \int_{\partial V} \vec{a} \cdot \vec{n} dS \approx \frac{1}{V} \sum_f \vec{a}_f \cdot \vec{n}_f S_f = \frac{1}{V} \sum_f \vec{a}_f \cdot \vec{S}_f = \frac{1}{V} \sum_f \phi.$$

Здесь величина ϕ — поток поля \vec{a} через грани ячейки, и именно эта величина является аргументом функции `fvc::div`.

- `fvc::snGrad(a)` — поле, заданное в центрах граней конечных объемов, значения которого равны производной величины a по внешней нормали к контрольному объему. $\frac{\partial a}{\partial \vec{n}} \approx \frac{a_n - a_o}{h}$. Здесь индексом o обозначено значение поля a в «своей» ячейке («own»), индексом n — значение в соседней («neighbour») ячейке.

При реализации численной схемы в OpenFOAM использовалась векторная запись уравнений. Все векторные величины помечены символом вектора, в случае отсутствия символа имеется в виду скалярная величина, равная первой компоненте одноименного вектора.

Реализация разностной схемы для уравнения (3). Выпишем уравнение с учетом названий слагаемых, принятых при реализации, а также операторов OpenFOAM.

$$\text{fvm::ddt}(\rho) + \text{fvc::div}(\phi J_m) = 0.$$

Данная запись соответствует следующей

$$\hat{\rho}_i = \rho_i - \frac{\Delta t}{V} (\phi_{j_m, i+1/2} + \phi_{j_m, i-1/2}),$$

где

$$\begin{aligned} \phi_{j_m, i+1/2} &= S \left(\rho_{i+1/2} u_{i+1/2} - \frac{\tau_{i+1/2}}{h} (u_{i+1}^2 \rho_{i+1} - u_i^2 \rho_i) - \frac{\tau_{i+1/2}}{h} (p_{i+1} - p_i) \right), \\ \phi_{j_m, i-1/2} &= -S \left(\rho_{i-1/2} u_{i-1/2} - \frac{\tau_{i-1/2}}{h} (u_i^2 \rho_i - u_{i-1}^2 \rho_{i-1}) - \frac{\tau_{i-1/2}}{h} (p_i - p_{i-1}) \right). \end{aligned}$$

Реализация разностной схемы для уравнения (4). Запись уравнения (4) в OpenFOAM:

$$\text{fvm::ddt}(\rho U) + \text{fvc::div}(\phi J_m U) + \text{fvc::div}(\phi P) - \text{fvc::div}(\phi P_{xx}) = 0.$$

$$\widehat{\rho u}_i = \rho_i u_i - \frac{\Delta t}{V} (\phi_{j_m u, i+1/2} + \phi_{j_m u, i-1/2}) - \frac{\Delta t}{V} (\phi_{p, i+1/2} + \phi_{p, i-1/2}) + \frac{\Delta t}{V} (\phi_{p_{xx}, i+1/2} + \phi_{p_{xx}, i-1/2}).$$

$$\phi_{j_m u, i+1/2} = S \left[u_{i+1/2}^2 \rho_{i+1/2} - u_{i+1/2} \tau_{i+1/2} \left(\frac{u_{i+1}^2 \rho_{i+1} - u_i^2 \rho_i}{h} + \frac{p_{i+1} - p_i}{h} \right) \right],$$

$$\phi_{j_m u, i-1/2} = -S \left[u_{i-1/2}^2 \rho_{i-1/2} - u_{i-1/2} \tau_{i-1/2} \left(\frac{u_i^2 \rho_i - u_{i-1}^2 \rho_{i-1}}{h} + \frac{p_i - p_{i-1}}{h} \right) \right],$$

$$\phi_{p, i+1/2} = p_{i+1/2} S,$$

$$\phi_{p, i-1/2} = -p_{i-1/2} S,$$

$$\phi_{p_{xx}, i+1/2} = S \tau_{i+1/2} \left[u_{i+1/2}^2 \rho_{i+1/2} \frac{u_{i+1} - u_i}{h} + 2u_{i+1/2} \frac{p_{i+1} - p_i}{h} + p_{i+1/2} \gamma_{i+1/2} \frac{u_{i+1} - u_i}{h} \right],$$

$$\phi_{p_{xx}, i-1/2} = -S \tau_{i-1/2} \left[u_{i-1/2}^2 \rho_{i-1/2} \frac{u_i - u_{i-1}}{h} + 2u_{i-1/2} \frac{p_i - p_{i-1}}{h} + p_{i-1/2} \gamma_{i-1/2} \frac{u_i - u_{i-1}}{h} \right].$$

Реализация разностной схемы для уравнения (5). При реализации численной схемы в OpenFOAM уравнение (5) было записано в следующем виде:

$$\text{fvm}::\text{ddt}(\text{rhoE}) + \text{fvc}::\text{div}(\text{phiJmH}) + \text{fvc}::\text{div}(\text{phiQ}) - \text{fvc}::\text{div}(\text{phiPixxU}) = 0.$$

$$\begin{aligned}\widehat{\rho E}_i &= (\rho E)_i - \frac{\Delta t}{V}(\varphi_{j_m H, i+1/2} - \varphi_{j_m H, i-1/2}) - \frac{\Delta t}{V}(\varphi_{q, i+1/2} - \varphi_{q, i-1/2}) + \frac{\Delta t}{V}(\varphi_{\Pi_{xx} u, i+1/2} - \varphi_{\Pi_{xx} u, i-1/2}), \\ \varphi_{j_m H, i+1/2} &= S \left[u_{i+1/2} \rho_{i+1/2} H_{i+1/2} - \tau_{i+1/2} H_{i+1/2} \frac{u_{i+1}^2 \rho_{i+1} - u_i^2 \rho_i}{h} + \tau_{i+1/2} H_{i+1/2} \frac{p_{i+1} - p_i}{h} \right], \\ \varphi_{j_m H, i-1/2} &= -S \left[u_{i-1/2} \rho_{i-1/2} H_{i-1/2} - \tau_{i-1/2} H_{i-1/2} \frac{u_i^2 \rho_i - u_{i-1}^2 \rho_{i-1}}{h} + \tau_{i-1/2} H_{i-1/2} \frac{p_i - p_{i-1}}{h} \right], \\ \varphi_{q, i+1/2} &= -S \left[\frac{\tau_{i+1/2} \rho_{i+1/2} u_{i+1/2}^2}{\gamma_{i+1/2} - 1} \frac{p_{i+1}/\rho_{i+1} - p_i/\rho_i}{h} + p_{i+1/2} u_{i+1/2}^2 \tau_{i+1/2} \rho_{i+1/2} \frac{1/\rho_{i+1} - 1/\rho_i}{h} \right], \\ \varphi_{q, i-1/2} &= -(-S) \left[\frac{\tau_{i-1/2} \rho_{i-1/2} u_{i-1/2}^2}{\gamma_{i-1/2} - 1} \frac{p_i/\rho_i - p_{i-1}/\rho_{i-1}}{h} + p_{i-1/2} u_{i-1/2}^2 \tau_{i-1/2} \rho_{i-1/2} \frac{1/\rho_i - 1/\rho_{i-1}}{h} \right], \\ \varphi_{\Pi_{xx} u, i+1/2} &= \varphi_{\Pi_{xx}, i+1/2} u_{i+1/2}, \\ \varphi_{\Pi_{xx} u, i-1/2} &= \varphi_{\Pi_{xx}, i-1/2} u_{i-1/2}.\end{aligned}$$